

Disciplina: CPC-777 Modelagem e simulação de reservatórios

Professor (es): Paulo Couto

Aluno (a): Vivian de Carvalho Rodrigues

DRE: 121010011

Relatório: Lista 2

Sumário

1.	Introdução.....	2
2.	Problema 1	2
2.1	Resolução.....	2
3.	Problema 2	4
3.1	Resolução.....	5
3.2	Esquema explícito	6
3.3	Esquema implícito	8
4.	Resultados	11
4.1	Analítico	11
4.2	Numérico – esquema explícito	12
4.3	Numérico – esquema implícito	13
5.	Conclusão	14
6.	Referências bibliográficas.....	14
	Anexos	15

1. Introdução

Este relatório tem por objetivo apresentar a resolução dos problemas referentes a Lista 2 da disciplina Modelagem e simulação de reservatórios (CPC 777).

2. Problema 1

Provar a através de Séries de Taylor que as seguintes aproximações são verdadeiras [1]:

$$\frac{df}{dx} = \frac{-f(x_{i+2}) + 8f(x_{i+1}) - 8f(x_{i-1}) + f(x_{i-2})}{12\Delta x} + \varepsilon(\Delta x^4)$$

$$\frac{df}{dx} = \frac{-f(x_{i+2}) + 4f(x_{i+1}) - 3f(x_i)}{2\Delta x} + \varepsilon(\Delta x^2)$$

$$\frac{d^2f}{dx^2} = \frac{f(x_i) - 2f(x_{i-1}) + f(x_{i-2})}{\Delta x^2} + \varepsilon(\Delta x)$$

Figura 1 – Enunciado do problema 1 da lista 2 [1]

2.1 Resolução

[3] A série de Taylor é definida da seguinte forma, para um ponto x em torno de ' a ' e ' $x > a$ ':

$$f(x) = \sum_{k=0}^{\infty} \frac{(x-a)^k}{k!} f^{(k)}(a) = f(a) + (x-a) \left. \frac{df}{dx} \right|_{x=a} + \frac{(x-a)^2}{2!} \left. \frac{d^2f}{dx^2} \right|_{x=a} + \frac{(x-a)^3}{3!} \left. \frac{d^3f}{dx^3} \right|_{x=a} + \dots + \frac{(x-a)^n}{n!} \left. \frac{d^nf}{dx^n} \right|_{x=a} \quad (\text{Eq.1})[2]$$

Para um ponto em torno de ' a ' e ' $x < a$ ':

$$f(x) = \sum_{k=0}^{\infty} \frac{(x-a)^k}{k!} f^{(k)}(a) = f(a) - (x-a) \left. \frac{df}{dx} \right|_{x=a} + \frac{(x-a)^2}{2!} \left. \frac{d^2f}{dx^2} \right|_{x=a} - \frac{(x-a)^3}{3!} \left. \frac{d^3f}{dx^3} \right|_{x=a} + \dots + \frac{(-1)^n (x-a)^n}{n!} \left. \frac{d^nf}{dx^n} \right|_{x=a} \quad (\text{Eq.2})[2]$$

Fazendo

$$\begin{aligned} f(x_{i+1}) &= f(x + \Delta x) \\ f(x_{i-1}) &= f(x - \Delta x) \\ f(x_{i+2}) &= f(x + 2\Delta x) \\ f(x_{i-2}) &= f(x - 2\Delta x) \end{aligned}$$

Onde

$$\begin{aligned} x_{i+1} - x_i &= \Delta x \\ x_{i-1} - x_i &= -\Delta x \\ \left. \frac{d^nf}{dx^n} \right|_{x_i} &= f^{(n)}(x_i) \end{aligned}$$

Então seguindo a expansão da ST no entorno de x_i :

$$(i) \quad f(x + \Delta x) = f(x_i) + \Delta x f'(x_i) + \frac{\Delta x^2}{2!} f''(x_i) + \frac{\Delta x^3}{3!} f'''(x_i) + \frac{\Delta x^4}{4!} f^{(4)}(x_i) + \dots + \frac{\Delta x^n}{n!} f^{(n)}(x_i)$$

$$(ii) \quad f(x - \Delta x) = f(x_i) - \Delta x f'(x_i) + \frac{\Delta x^2}{2!} f''(x_i) - \frac{\Delta x^3}{3!} f'''(x_i) + \frac{\Delta x^4}{4!} f^{(4)}(x_i) + \dots + (-1)^n \frac{\Delta x^n}{n!} f^{(n)}(x_i)$$

$$(iii) \quad f(x + 2\Delta x) = f(x_i) + 2\Delta x f'(x_i) + \frac{(2\Delta x)^2}{2!} f''(x_i) + \frac{(2\Delta x)^3}{3!} f'''(x_i) + \frac{(2\Delta x)^4}{4!} f^{(4)}(x_i) + \dots + \frac{(2\Delta x)^n}{n!} f^{(n)}(x_i)$$

$$(iv) \quad f(x - 2\Delta x) = f(x_i) - 2\Delta x f'(x_i) + \frac{(2\Delta x)^2}{2!} f''(x_i) - \frac{(2\Delta x)^3}{3!} f'''(x_i) + \frac{(2\Delta x)^4}{4!} f^{(4)}(x_i) + \dots + (-1)^n \frac{(2\Delta x)^n}{n!} f^{(n)}(x_i)$$

Subtraindo (ii) de (i)

$$f(x + \Delta x) - f(x - \Delta x) = 2\Delta x f'(x_i) + \frac{2\Delta x^3}{3!} f'''(x_i) + \frac{2\Delta x^5}{5!} f^{(5)}(x_i) + \dots + \frac{2\Delta x^{2n+1}}{(2n+1)!} f^{(2n+1)}(x_i) \quad (I)$$

Subtraindo (iv) de (iii)

$$f(x + 2\Delta x) - f(x - 2\Delta x) = 4\Delta x f'(x_i) + \frac{2(2\Delta x)^3}{3!} f'''(x_i) + \frac{2(2\Delta x)^5}{5!} f^{(5)}(x_i) + \dots + \frac{2(2\Delta x)^{2n+1}}{(2n+1)!} f^{(2n+1)}(x_i) \quad (II)$$

Fazendo 8 (I) – II

$$8f(x + \Delta x) - 8f(x - \Delta x) - f(x + 2\Delta x) + f(x - 2\Delta x) = 12\Delta x f'(x_i) - \frac{48\Delta x^5}{5!} f^{(5)}(x_i) + \dots$$

Isolando $f'(x_i)$, obtém-se, portanto:

$$f'(x_i) = \frac{8f(x + \Delta x) - 8f(x - \Delta x) - f(x + 2\Delta x) + f(x - 2\Delta x)}{12\Delta x} + \left\{ \frac{48\Delta x^4}{5!} f^{(5)}(x_i) + \dots \right\}$$

Fazendo 4 (i) – (iii)

$$4f(x + \Delta x) - f(x + 2\Delta x) = 3f(x_i) + 2\Delta x f'(x_i) - \frac{4\Delta x^3}{3!} f'''(x_i) - \frac{12\Delta x^4}{4!} f^{(4)}(x_i) - \dots$$

Isolando $f'(x_i)$, obtém-se, portanto:

$$f'(x_i) = \frac{4f(x + \Delta x) - f(x + 2\Delta x) - 3f(x_i)}{2\Delta x} + \left\{ \frac{2\Delta x^2}{3!} f'''(x_i) - \frac{6\Delta x^3}{4!} f^{(4)}(x_i) - \dots \right\}$$

Fazendo (iv) – 2(ii)

$$f(x - 2\Delta x) - 2f(x - \Delta x) = -f(x_i) + \Delta x^2 f''(x_i) - \frac{6\Delta x^3}{3!} f'''(x_i) + \frac{14\Delta x^4}{4!} f''''(x_i) + \dots$$

Isolando $f''(x_i)$, obtém-se, portanto:

$$f''(x_i) = \frac{f(x - 2\Delta x) - 2f(x - \Delta x) + f(x_i)}{\Delta x^2} + \left\{ \frac{6\Delta x}{3!} f'''(x_i) - \frac{14\Delta x^2}{4!} f''''(x_i) + \dots \right\}$$

3. Problema 2

2. O fluxo radial unidimensional em regime transiente é dado por:

$$\begin{aligned} \frac{\partial P_D}{\partial t_D} &= \frac{1}{r_D} \frac{\partial}{\partial r_D} \left(r_D \frac{\partial P_D}{\partial r_D} \right) \\ P_D(r_D, t_D = 0) &= 0 \\ \left(r_D \frac{\partial P_D}{\partial r_D} \right)_{r_D=1} &= -1 \\ \left(\frac{\partial P_D}{\partial r_D} \right)_{r_D=r_{eD}=r_e/r_w} &= 0 \end{aligned}$$

onde P_D , r_D e t_D são as variáveis adimensionais

$$P_D = \frac{2\pi kh}{q_{o,std} B_o \mu_o} (P_i - P) \quad t_D = \frac{kt}{\phi \mu_o c_t r_w^2} \quad r_D = \frac{r}{r_w}$$

Utilizando os dados da Tabela 1, resolva o problema dado pelas Eqs. (1.4) e (1.5) por diferenças finitas utilizando:

- Formulação explícita;
- Formulação totalmente implícita; e

obtenha e plote os perfis radiais de pressão (dimensional) no meio poroso entre r_w e r_e para $t = 1$ minuto, $t = 1$ hora, $t = 1$ dia, $t = 30$ dias, $t = 1$ ano e $t = 10$ anos. Compare seus resultados com aqueles obtidos na lista 1. Como você interpreta seus resultados?

Tabela 1. Dados para o problema 2.

Parâmetro	Sistema de unidades	
	API	SI
ϕ	20 %	20%
c_t	$1,5 \times 10^{-5} \text{ psi}^{-1}$	$2,18 \times 10^{-9} \text{ Pa}^{-1}$
k	150 mD	$148 \times 10^{-15} \text{ m}^2$
h	10 ft	3,048 m
$q_{o,std}$	3000 STB/dia	$518 \times 10^{-5} \text{ m}^3/\text{seg.}$
B_o	1,5 bbl/STB	$1,5 \text{ m}^3/\text{m}^3\text{std}$
μ_o	0,33 cp	$3,3 \times 10^{-4} \text{ Pa.s}$
P_i	2.200 psi	$15,17 \times 10^6 \text{ Pa}$
r_w	3,5 pol.	0,0889 m
r_e	2.000 ft	609,6 m

Figura 2 - Enunciado do problema 2 da lista 2 [1]

3.1 Resolução

Seguindo os passos de resolução descrito em [2], a aproximação *forward* da derivada primeira de $f(x_i)$ é

$$\left. \frac{df}{dx} \right|_{x_i} = \frac{f(x_{i+1}) - f(x_i)}{\Delta x} - \xi(\Delta x)$$

ou

$$f'(x_i) = \frac{f(x + \Delta x) - f(x)}{\Delta x}$$

Equação 1 - Aproximação *forward* da derivada primeira [2]

A aproximação centrada da derivada primeira é dada por:

$$\left. \frac{df}{dx} \right|_{x_i} = \frac{f(x_{i+1}) - f(x_{i-1}))}{2 \Delta x} - \xi(\Delta x^2)$$

ou

$$f'(x_i) = \frac{f(x + \Delta x) - f(x - \Delta x)}{2 \Delta x}$$

Equação 2 - Aproximação *central* da derivada primeira [2]

Ainda, para a aproximação centrada a derivada de segunda ordem fica da seguinte maneira:

$$\left. \frac{d^2 f}{dx^2} \right|_{x_i} = \frac{f(x_{i+1}) - 2f(x_i) + f(x_{i-1}))}{\Delta x^2} - \xi(\Delta x^2)$$

ou

$$f''(x_i) = \frac{f(x + \Delta x) + 2f(x) - f(x - \Delta x)}{\Delta x^2}$$

Equação 3 - Aproximação *central* da derivada segunda [2]

De acordo com [2], a equação do problema de fluxo unidimensional em regime transiente a ser resolvido:

$$\frac{1}{r} \frac{\partial}{\partial r} \left(r \frac{\partial P}{\partial r} \right) = \frac{\phi \mu c_t}{k} \frac{\partial P}{\partial t}$$

Equação 4 – Equação da difusividade para fluxo radial em regime transiente - analítico [2]

Onde $\eta = k / \phi \mu c_t$

Desenvolvendo a equação acima pela regra da cadeia e, substituindo as derivadas pelas aproximações da Série de Taylor *forward*, para a derivada temporal, e centrada para as derivadas espaciais:

$$\frac{1}{\eta} \frac{\partial P}{\partial t} = \frac{1}{r} \left(\frac{\partial P}{\partial r} + r \frac{d^2 P}{dr^2} \right)$$

$$\frac{1}{\eta} \left(\frac{P_i - P_i^0}{\Delta t} \right) = \frac{1}{r_i} \left[\frac{P_{i+1}^\theta - P_i^\theta}{2 \Delta r} \right] + \frac{P_{i+1}^\theta - 2P_i^\theta + P_{i-1}^\theta}{\Delta r^2}$$

Equação 5 – Equação da difusividade para fluxo radial em regime transiente – discreto

O termo θ identifica o tempo t_0 e t no qual o termo difusivo é calculado[4].

$$P_{i,j}^\theta = \theta P_{i,j} + (1 - \theta) P_{i,j}^0$$

- Se $\theta = 0$ esquema de discretização totalmente explícito;
- Se $\theta = 1$ esquema de discretização totalmente implícito;
- Se $0 < \theta < 1$ esquema de discretização parcialmente implícito.

Figura 3 – Opções de esquema de discretização [4]

3.2 Esquema explícito

As informações para o cálculo da variável dependente (pressão) no nó i são provenientes do tempo anterior ($\theta = 0$, condição inicial):

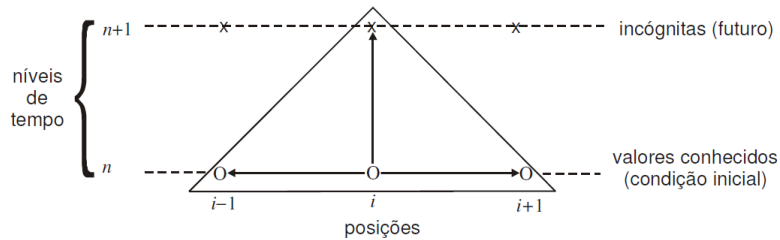


Figura 4 – Discretização usando o método explícito[2]

Então:

$$\frac{1}{\eta} \left(\frac{P_i - P_i^0}{\Delta t} \right) = \frac{1}{r_i} \left[\frac{P_{i+1}^0 - P_i^0}{2 \Delta r} \right] + \frac{P_{i+1}^0 - 2P_i^0 + P_{i-1}^0}{\Delta r^2}$$

Equação 6 – Equação da difusividade para fluxo radial em regime transiente – esquema explícito

Resolvendo a equação para única incógnita P_i

$$P_i = \left(\frac{\eta \Delta t}{2 r_i \Delta r} + \frac{\eta \Delta t}{\Delta r^2} \right) P_{i+1}^0 + \left(\frac{\eta \Delta t}{\Delta r^2} - \frac{\eta \Delta t}{2 r_i \Delta r} \right) P_{i-1}^0 + \left(1 - \frac{2 \eta \Delta t}{\Delta r^2} \right) P_i^0$$

Equação 7 – Pressão no nó i - regime transiente – esquema explícito

Onde os termos entre parênteses são chamados de "transmissibilidade do nó" (τ), assim:

$$P_i = \tau_{i+1} P_{i+1}^0 + \tau_{i-1} P_{i-1}^0 + \tau_i P_i^0$$

Onde

- $\tau_{i+1} = \left(\frac{\eta \Delta t}{2 r_i \Delta r} + \frac{\eta \Delta t}{\Delta r^2} \right)$
- $\tau_{i-1} = \left(\frac{\eta \Delta t}{\Delta r^2} - \frac{\eta \Delta t}{2 r_i \Delta r} \right)$
- $\tau_i = \left(1 - \frac{2 \eta \Delta t}{\Delta r^2} \right)$

[2] Na fronteira $r = r_w$ ($r \rightarrow 0$ ou $i = 0$), a condição de contorno é:

$$\lim_{r \rightarrow 0} \left(r \frac{\partial P}{\partial r} \right) = - \frac{q_0 B_0 \mu}{2 \pi k h}$$

Substituindo na equação original do problema

$$\frac{1}{\eta} \frac{\partial P}{\partial t} = \frac{1}{r} \left(\frac{\partial P}{\partial r} + r \frac{d^2 P}{dr^2} \right) = - \frac{1}{r^2} \frac{q_0 B_0 \mu}{2 \pi k h} + \frac{d^2 P}{dr^2}$$

Equação 8 – Equação do problema de fluxo radial unidimensional para $r \sim 0$

Então

$$\frac{1}{\eta} \left(\frac{P_i - P_i^0}{\Delta t} \right) = - \frac{1}{r_i^2} \frac{q_0 B_0 \mu}{2 \pi k h} + \frac{P_{i+1}^0 - 2P_i^0 + P_{i-1}^0}{\Delta r^2}$$

ou

$$\frac{1}{\eta} \left(\frac{P_0 - P_0^0}{\Delta t} \right) = - \frac{1}{r_0^2} \frac{q_0 B_0 \mu}{2 \pi k h} + \frac{P_1^0 - 2P_0^0 + P_{-1}^0}{\Delta r^2}$$

Equação 9 – Equação do problema de fluxo radial unidimensional –
explícito para $r \sim 0$

De acordo com e [4], para resolver P_{-1} fictício, utiliza-se a condição de simetria no nó $i = 0$

$$\left. \frac{dP}{dr} \right|_{r=0} = \frac{P_1^0 - P_{-1}^0}{2 \Delta r} = 0$$

então

$$P_1^0 = P_{-1}^0$$

Portanto, substituindo a igualdade acima na equação 9

$$P_0 = \left(\frac{2 \eta \Delta t}{\Delta r^2} \right) P_1^0 + \left(1 - \frac{2 \eta \Delta t}{\Delta r^2} \right) P_0^0 - \frac{\eta \Delta t}{r_0^2} \frac{q_0 B_0 \mu}{2 \pi k h}$$

Equação 10 – Equação do problema de fluxo radial unidimensional –
explícito para $r \sim 0$

ou

$$P_0 = \tau_1 P_1^0 + \tau_0 P_0^0 + B_0$$

- $\tau_1 = \frac{2\eta\Delta t}{\Delta r^2}$
- $\tau_0 = \left(1 - \frac{2\eta\Delta t}{\Delta r^2}\right)$
- $B_0 = -\frac{\eta\Delta t}{r_0^2} \frac{q_0 B_0 \mu}{2\pi k h}$

[2] Na fronteira $r = r_e$ ($r \rightarrow \infty$), a condição de contorno é a própria pressão inicial (condição inicial de pressão em $t = 0$).

3.3 Esquema implícito

[4] As informações de cálculo da variável dependente (pressão) no nó i são provenientes inteiramente do tempo atual ($\theta = 0$, as equações resultantes que compõem o sistema linear serão todas acopladas):

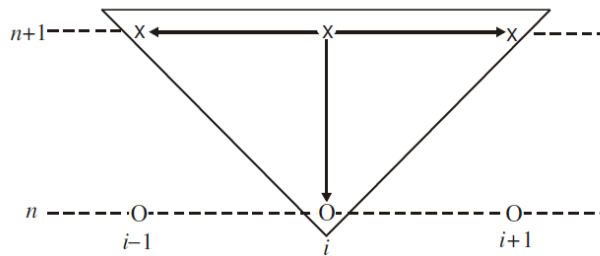


Figura 5 - Discretização usando o método implícito [2]

Então:

$$\frac{1}{\eta} \left(\frac{P_i - P_i^0}{\Delta t} \right) = \frac{1}{r_i} \left[\frac{P_{i+1} - P_i}{2 \Delta r} \right] + \frac{P_{i+1} - 2P_i + P_{i-1}}{\Delta r^2}$$

Equação 11 – Equação da difusividade para fluxo radial em regime transiente – esquema implícito

Resolvendo a equação para a incógnita P_i

$$\left(1 + \frac{2\eta\Delta t}{\Delta r^2}\right) P_i = \left(\frac{\eta\Delta t}{2r_i\Delta r} + \frac{\eta\Delta t}{\Delta r^2}\right) P_{i+1} + \left(\frac{\eta\Delta t}{\Delta r^2} - \frac{\eta\Delta t}{2r_i\Delta r}\right) P_{i-1} + P_i^0$$

Equação 12 – Equação acoplada da pressão no nó i - regime transiente – esquema implícito

Ou

$$\tau_i P_i = \tau_{i+1} P_{i+1} + \tau_{i-1} P_{i-1} + P_i^0$$

- $\tau_{i+1} = \left(\frac{\eta\Delta t}{2r_i\Delta r} + \frac{\eta\Delta t}{\Delta r^2}\right)$
- $\tau_{i-1} = \left(\frac{\eta\Delta t}{\Delta r^2} - \frac{\eta\Delta t}{2r_i\Delta r}\right)$
- $\tau_i = \left(1 + \frac{2\eta\Delta t}{\Delta r^2}\right)$

Portanto é possível organizar a equação 12 da seguinte forma (em termos das transmissibilidades):

$$-\tau_{i-1} P_{i-1} + \tau_i P_i - \tau_{i+1} P_{i+1} = P_i^0$$

Equação 13 –Equação acoplada da pressão no nó i - regime transiente
– esquema implícito

Considerando, por exemplo uma malha com 5 pontos:



$$0 + \tau_0 P_0 - \tau_1 P_1 = P_0^0$$

$$-\tau_0 P_0 + \tau_1 P_1 - \tau_2 P_2 = P_1^0$$

$$-\tau_1 P_1 + \tau_2 P_2 - \tau_3 P_3 = P_2^0$$

$$-\tau_2 P_2 + \tau_3 P_3 - \tau_4 P_4 = P_3^0$$

$$-\tau_3 P_3 + \tau_4 P_4 - 0 = P_4^0$$

Em outras palavras:

$$\begin{bmatrix} \tau_0 & -\tau_1 & 0 & 0 & 0 \\ -\tau_0 & \tau_1 & -\tau_2 & 0 & 0 \\ 0 & -\tau_1 & \tau_2 & -\tau_3 & 0 \\ 0 & 0 & -\tau_2 & \tau_3 & -\tau_4 \\ 0 & 0 & 0 & -\tau_3 & \tau_4 \end{bmatrix}
 \begin{bmatrix} P_0 \\ P_1 \\ P_2 \\ P_3 \\ P_4 \end{bmatrix} =
 \begin{bmatrix} P_0^0 \\ P_1^0 \\ P_2^0 \\ P_3^0 \\ P_4^0 \end{bmatrix}$$

Portanto, para uma malha de n pontos:

$$[\tau]_{n \times n} [P]_{n \times 1} = [P^0]_{n \times 1}$$

O campo de pressões a ser calculado será:

$$[P]_{n \times 1} = [\tau]_{n \times n}^{-1} [P^0]_{n \times 1}$$

[2] Na fronteira $r = r_w$ ($r \rightarrow 0$ ou $i=0$), a condição de contorno é:

$$\lim_{r \rightarrow 0} \left(r \frac{\partial P}{\partial r} \right) = - \frac{q_0 B_0 \mu}{2\pi k h}$$

Substituindo na equação original do problema

$$\frac{1}{\eta} \frac{\partial P}{\partial t} = \frac{1}{r} \left(\frac{\partial P}{\partial r} + r \frac{d^2 P}{dr^2} \right) = - \frac{1}{r^2} \frac{q_0 B_0 \mu}{2\pi k h} + \frac{d^2 P}{dr^2}$$

Equação 14 – Equação do problema de fluxo radial unidimensional para $r \sim 0$

Então

$$\frac{1}{\eta} \left(\frac{P_i - P_i^0}{\Delta t} \right) = - \frac{1}{r_i^2} \frac{q_0 B_0 \mu}{2\pi k h} + \frac{P_{i+1} - 2P_i + P_{i-1}}{\Delta r^2}$$

ou

$$\frac{1}{\eta} \left(\frac{P_0 - P_0^0}{\Delta t} \right) = -\frac{1}{r_0^2} \frac{q_0 B_0 \mu}{2\pi k h} + \frac{P_1 - 2P_0 + P_{-1}}{\Delta r^2}$$

Equação 15 – Equação do problema de fluxo radial unidimensional –
numérico para $r \sim 0$

De acordo com e [4], para resolver P_{-1} fictício, utiliza-se a condição de simetria no nó i
= 0

$$\left. \frac{dP}{dr} \right|_{r=0} = \frac{P_1^0 - P_{-1}^0}{2 \Delta r} = 0$$

então

$$P_1^0 = P_{-1}^0$$

Portanto, substituindo a igualdade acima na equação 15

$$\left(1 + \frac{2 \eta \Delta t}{\Delta r^2} \right) P_0 = \left(\frac{2 \eta \Delta t}{\Delta r^2} \right) P_1 + P_0^0 - \frac{\eta \Delta t}{r_0^2} \frac{q_0 B_0 \mu}{2\pi k h}$$

Equação 16 – Equação do problema de fluxo radial unidimensional –
implícito para $r \sim 0$

ou

$$\tau_0 P_0 - \tau_1 P_1 = B_0$$

- $\tau_1 = \frac{2 \eta \Delta t}{\Delta r^2}$
- $\tau_0 = \left(1 + \frac{2 \eta \Delta t}{\Delta r^2} \right)$
- $B_0 = P_0^0 - \frac{\eta \Delta t}{r_0^2} \frac{q_0 B_0 \mu}{2\pi k h}$

De forma análoga na fronteira $r = r_e$ ($r \rightarrow \infty$), fazendo ($P_{n+1} = P_{n-1}$) na equação 12

$$\left(1 + \frac{2 \eta \Delta t}{\Delta r^2} \right) P_n = \left(\frac{2 \eta \Delta t}{\Delta r^2} \right) P_{n-1} + P_n^0$$

Equação 17 – Equação do problema de fluxo radial unidimensional –
implícito para $r \sim r_e$

$$\tau_n P_n - \tau_{n-1} P_{n-1} = P_n^0$$

- $\tau_{n-1} = \frac{2 \eta \Delta t}{\Delta r^2}$
- $\tau_n = \left(1 + \frac{2 \eta \Delta t}{\Delta r^2} \right)$

4. Resultados

Para a implementação numérica, foi utilizada a linguagem de programação em Python. O problema analítico foi implementado junto ao código para comparação dos resultados.

Os códigos estão nos anexos.

4.1 Analítico

O resultado do problema analítico (Exercício 1 - Lista 1) está reproduzido na imagem abaixo.

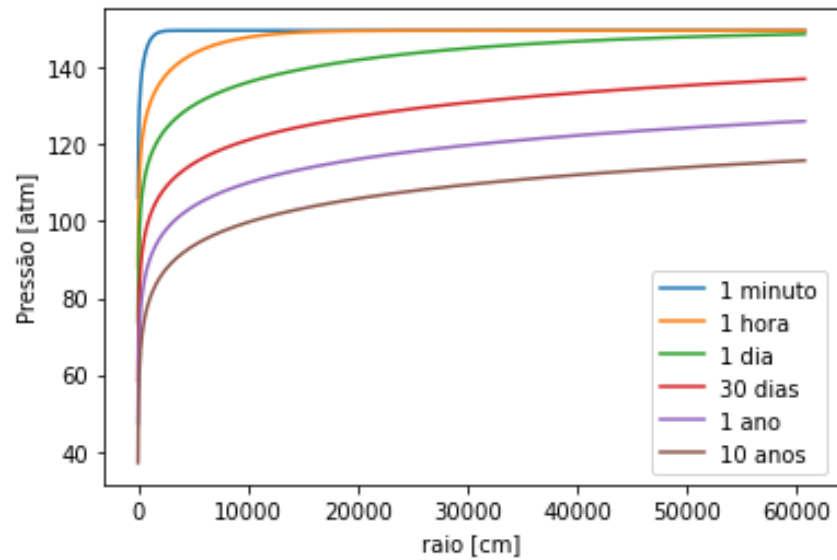


Figura 6 – Caso analítico ($re = 609.6m$)

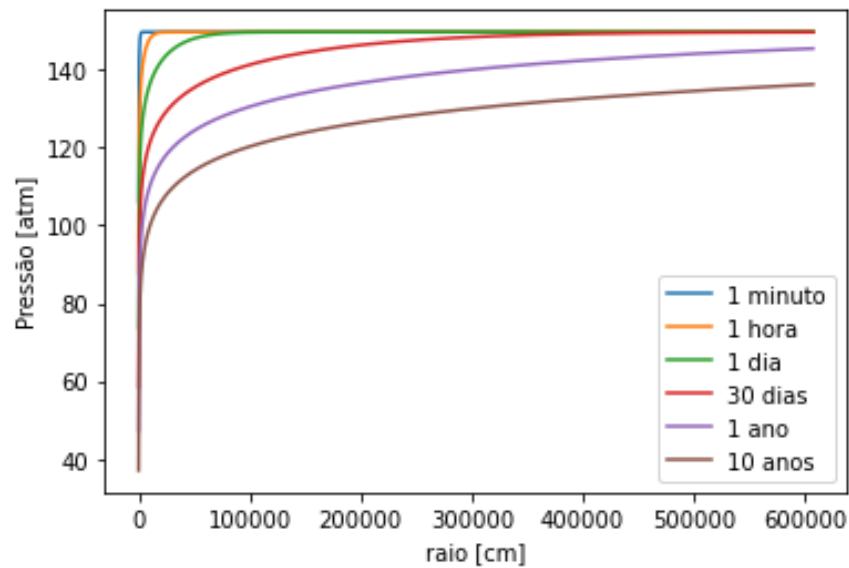


Figura 7 - Caso analítico ($re = 6\text{ km}$)

4.2 Numérico – esquema explícito

Os resultados numéricos no esquema explícito no regime transiente estão apresentados nas figuras abaixo:

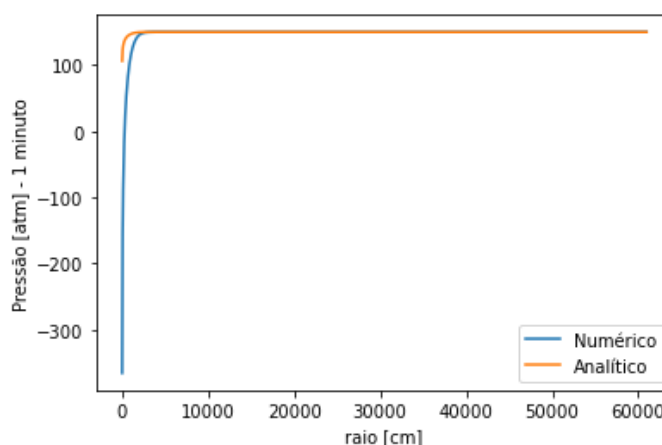


Figura 8 - Numérico - explícito – 1 minuto ($re = 609.6m$)

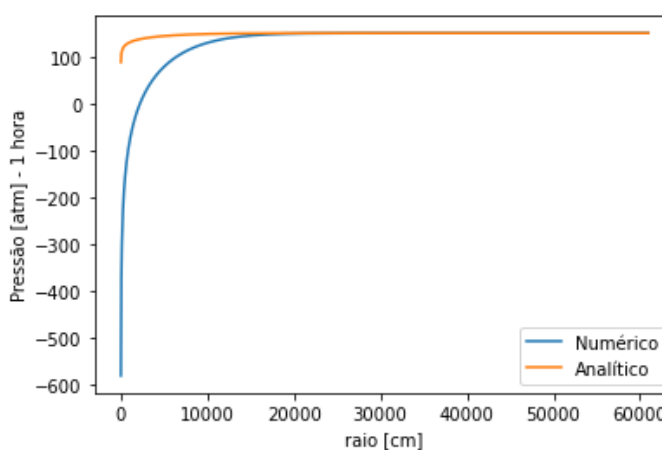


Figura 9 - Numérico - explícito – 1 hora ($re = 609.6m$)

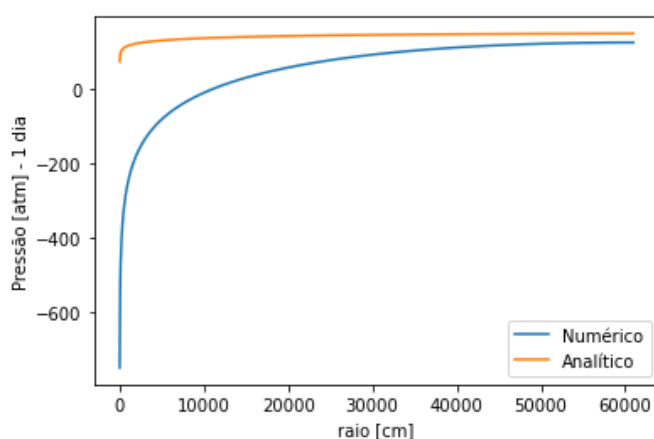


Figura 10 - Numérico - explícito – 1 dia ($re = 609.6m$)

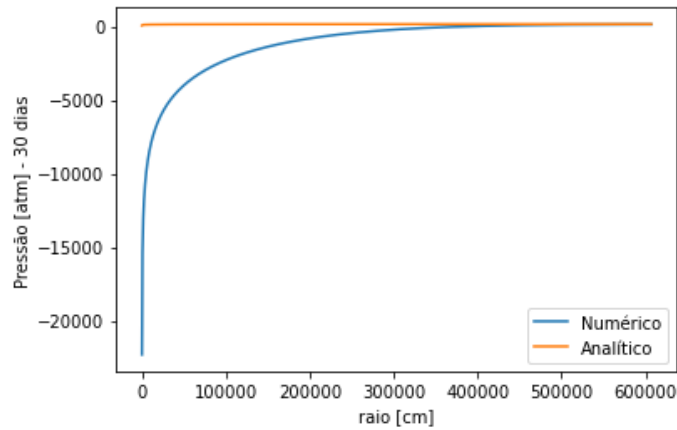


Figura 11 - Numérico - explícito - 30 dias ($re = 6 \text{ km}$)

O programa possui limitações de tempo de rodada para análises maiores que 30 dias (4 horas de simulação). Por isso, não foram apresentados os resultados numéricos para 1 ano e 10 anos.

4.3 Numérico – esquema implícito

Os resultados numéricos no esquema implícito no regime transiente estão apresentados nas figuras abaixo:

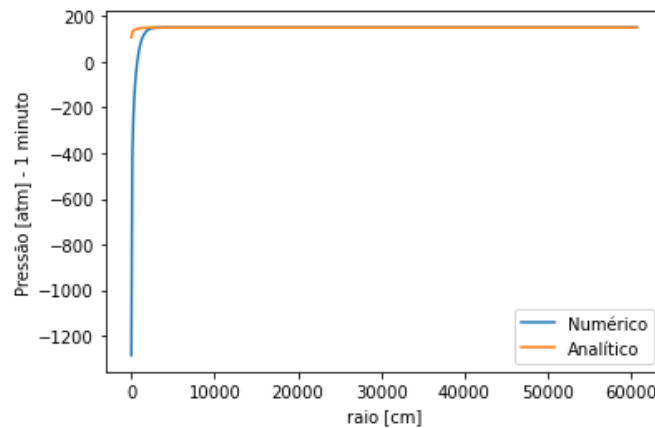


Figura 12 - Numérico - implícito - 1 minuto ($re = 609.6m$)

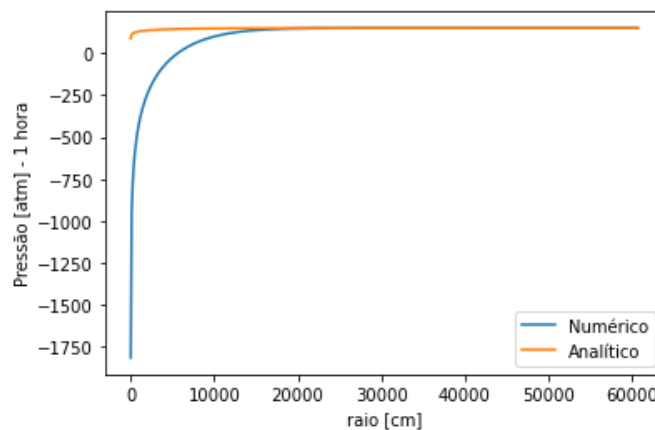


Figura 13 - Numérico - implícito - 1 hora ($re = 609.6m$)

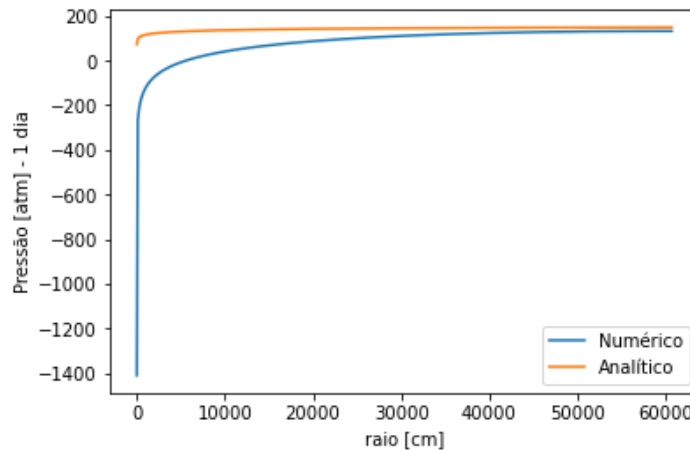


Figura 14 - Numérico - implícito - 1 dia ($r_e = 609.6m$)

O programa possui limitações de tempo de rodada para análises maiores que 1 dia (40 minutos de simulação). Por isso, não foram apresentados os resultados numéricos para 30 dias, 1 ano e 10 anos.

5. Conclusão

Os resultados mostram que, para o esquema explícito os resultados tendem a divergir com o tempo. Já no esquema implícito, apesar que os valores serem bastantes diferentes do analítico, a tendencia é de estabilização e, é possível observar que o valor da pressão no poço para $t = 1$ dia aumentou (menos negativo) com relação ao resultado de $t = 1$ hora.

Conclui-se que o esquema implícito é mais estável que o esquema explícito pelo fato de os coeficientes das variáveis dependentes serem positivos.

O programa Python é um bom compilador (ou interpretador) para uma primeira implementação de cálculo numérico, no entanto, aparenta ter limitações de tempo de simulação para análises mais robustas. Não houve ocorrência de problemas na implementação do código e os programas estão rodando sem apresentar nenhum erro de sintaxe.

6. Referências bibliográficas

- [1] Lista 2
- [2] Adalberto J. Rosa, Renato de S.Carvalho e José A. Daniel Xavier, Engenharia de Reservatórios de Petróleo
- [3] Aula 5 - Séries de Taylor
- [4] Aula 6 – Método das diferenças finitas
- [5] Osik M,Necati. Heat Conduction

Anexos

Análítico

```

8 #Resolução do Problema 1 - Lista 1:Fluxo radial unidimensional - analítico
9
10 import math as m
11 import matplotlib.pyplot as plt
12 import scipy.special as sc
13
14 #Dados de entrada
15 re = 60690 #raio externo [cm]
16 rw = 8.9 #raio do poço [cm]
17 h = 304.8 #espessura do reservatório [cm]
18 pi = 149.7 #pressão inicial [atm]
19 q0 = 5180 #vazão [cm³ std/ s]
20 k = 0.15 #permeabilidade [Darcy]
21 phi = 0.2 #porosidade [%]
22 ct = 0.0002204 #compressibilidade total [1/atm]
23 mu = 0.33 #viscosidade [cp]
24 Bo = 1.5 #fator volume formação [m³/m³ std]
25 g = 1.78108 #gamma para p em rw
26
27
28 C = Bo*q0*mu/(4*m.pi*k*h) #parte constante da equação 3.225 de Rosa et al.
29
30 t1 = 60 #[s] t = 1 min
31 t2 = 60*60 #[s] t = 1 hora
32 t3 = 60*60*24 #[s] t = 1 dia
33 t4 = 60*60*24*30 #[s] t = 30 dias
34 t5 = 60*60*24*365 #[s] t = 1 ano
35 t6 = 60*60*24*365*10 #[s] t = 10 anos
36
37
38 #Definindo a lista de raios - r[0] = 0 metros. A correção será aplicada no cálculo da pressão.
39 r = [] #lista a ser montada
40 n = 1000 #quantidade de termos
41
42 for i in range(n+1):
43     r = r + [i*(re-rw)/n]
44
45 print(r[-1]) #teste para saber o último valor: r[n+1]
46
47 #Perfil de pressão para t = 1min
48 p1 = [] #lista a ser montada
49
50 for i in range(n+1):
51     p1 = p1 + [pi+C*sc.expi(-phi*mu*ct*r[i]**2/(4*k*t1))] #montagem da lista para p1@1min
52
53 p1[0] = pi+C*sc.expi(-phi*mu*ct*rw**2/(4*k*t1)) #correção para r[0] = rw
54
55 print(p1[-1]) #teste para saber o último valor: p1[n+1]
56
57
58 #Perfil de pressão para t = 1hora
59 p2 = []
60
61 for i in range(n+1):
62     p2 = p2 + [pi+C*sc.expi(-phi*mu*ct*r[i]**2/(4*k*t2))]
63
64 p2[0] = pi+C*sc.expi(-phi*mu*ct*rw**2/(4*k*t2))
65
66 print(p2[-1])
67
68 #Perfil de pressão para t = 1 dia
69 p3 = []
70
71 for i in range(n+1):
72     p3 = p3 + [pi+C*sc.expi(-phi*mu*ct*r[i]**2/(4*k*t3))]
73
74 p3[0] = pi+C*sc.expi(-phi*mu*ct*rw**2/(4*k*t3))
75
76 print(p3[-1])
77
78 #Perfil de pressão para t = 30 dias
79 p4 = []
80
81 for i in range(n+1):
82     p4 = p4 + [pi+C*sc.expi(-phi*mu*ct*r[i]**2/(4*k*t4))]
83
84 p4[0] = pi+C*sc.expi(-phi*mu*ct*rw**2/(4*k*t4))
85
86 print(p4[-1])
87
88 #Perfil de pressão para t = 1 ano
89 p5 = []
90
91 for i in range(n+1):
92     p5 = p5 + [pi+C*sc.expi(-phi*mu*ct*r[i]**2/(4*k*t5))]
93
94 p5[0] = pi+C*sc.expi(-phi*mu*ct*rw**2/(4*k*t5))
95
96 print(p5[-1])
97
98 #Perfil de pressão para t = 10 anos
99 p6 = []
100
101 for i in range(n+1):
102     p6 = p6 + [pi+C*sc.expi(-phi*mu*ct*r[i]**2/(4*k*t6))]
103
104 p6[0] = pi+C*sc.expi(-phi*mu*ct*rw**2/(4*k*t6))
105
106 print(p6[-1])
107
108
109 #Gráficos
110 plt.plot(r,p1, label="1 minuto")
111 plt.plot(r,p2, label="1 hora")
112 plt.plot(r,p3, label="1 dia")
113 plt.plot(r,p4, label="30 dias")
114 plt.plot(r,p5, label="1 ano")
115 plt.plot(r,p6, label="10 anos")
116 plt.xlabel('raio [cm]')
117 plt.ylabel('Pressão [atm]')
118 plt.legend()
119 plt.show()

```


Numérico -Explícito

```

8 #Resolução do Problema 2 - Lista 2:Fluxo radial unidimensional - numérico
9 #Método explícito
10
11 import math as m
12 import scipy.special as sc
13 import matplotlib.pyplot as plt
14
15
16 #1 - Dados de entrada
17 re = 60960 #raio externo [cm]
18 rw = 8.9 #raio da poço [cm]
19 h = 304.8 #espessura do reservatório [cm]
20 pi = 149.7 #pressão inicial [atm]
21 q0 = 5180 #vazão [cm³ std/ s]
22 k = 0.15 #permeabilidade [Darcy]
23 phi = 0.2 #porosidade [%100]
24 ct = 0.0002204 #compressibilidade total [1/atm]
25 mu = 0.33 #viscosidade [cp]
26 Bo = 1.5 #fator volume formação [m³/m³ std]
27 g = 1.78108 #gamma para p em rw
28
29
30 #2 - Cálculo das constantes
31
32 dt = 0.05 #passo de tempo [s]
33 dr = 60.96 #espessamento da malha [cm]
34
35 ni = k/(phi*mu*ct) #constante de difusividade hidráulica - eq.3.113 de Rosa et al.
36
37 #parcelas constantes da transmissibilidade do nó
38 tau_c1 = ni*dt/(dr**2)
39 tau_c2 = ni*dt/(2*dr) #parcela que multiplica 1/ri no cálculo da pressão
40
41 #parcelas constantes B - relativo às pressões no poço
42 cc = Bo*q0*mu/(2*m.pi*k*h)
43
44
45 #3 - Definição da lista de raios - pontos i - que serão calculados o campos de pressão
46
47 r = []
48 n = int (re/dr)
49 for i in range(n+1):
50     r += [i*dr]
51 r[0] = rw #correção r1 = 0 para r1 = rw
52
53 print(r[-1]) #teste para saber o último valor: r[n+1]
54
55 Nr = len(r) #numero de pontos no espaço
56
57
58 #4 - Condições iniciais
59
60 t1 = 60*60*24 #30 #[s] tempo total de análise
61 Nt = int(t1/dt) #número de passos no tempo
62
63 Pi = [] #campo de pressões iniciais
64 for i in range(Nr): #Pi = [pi for i in range(Nr)]
65     Pi += [pi]
66
67
68 #5 - Cálculo do campos de pressões no tempo (numérico)
69
70 P = [] #pressões no tempo presente
71 P_aux = [] #pressões no tempo futuro
72 for i in range (Nt):
73     if i == 0:
74         P = Pi.copy()
75         print('it =', i, '// t[s] =', round(i*dt, 2), '// horas =', round(i*dt/3600, 2), '// dias =', round(i*dt/3600/24, 2),
76               '// mes =', round(i*dt/3600/24/30.2, 1), '// ano =', round(i*dt/3600/24/365.5, 1), '// pw[atm] =', round(P[0], 2))
77     else:
78         P = P_aux.copy()
79         P_aux = []
80         print('it =', i, '// t[s] =', round(i*dt, 2), '// horas =', round(i*dt/3600, 2), '// dias =', round(i*dt/3600/24, 2),
81               '// mes =', round(i*dt/3600/24/30.2, 1), '// ano =', round(i*dt/3600/24/365.5, 1), '// pw[atm] =', round(P[0], 2))
82         for j in range (Nr):
83             if j == 0:
84                 P_aux += [2*tau_c1*P[j+1]+(1-2*tau_c1)*P[j] - (ni*dt/(r[j]**2))*cc]
85             elif j == Nr-1:
86                 P_aux += [P_aux[j-1]]
87             else:
88                 P_aux += [((1/r[j])*tau_c2+tau_c1)*P[j+1] + (tau_c1-(1/r[j])*tau_c2)*P[j-1] + (1 - 2*tau_c1)*P[j]]
89
90         print (P_aux[-1])
91
92
93
94
95 #6 - Perfil de pressão (analítico)
96 C = Bo*q0*mu/(4*m.pi*k*h) #parte constante da equação 3.225 de Rosa et al.
97
98 p1 = [] #lista a ser montada
99
100 for i in range(Nr):
101     p1 = p1 + [pi+C*sc.expi(-(phi*mu*ct*r[i]**2/(4*k*t1)))] #montagem da lista para p1@t1
102
103
104 print(p1[-1]) #teste para saber o último valor: p1[n+1]
105
106
107 #7 - Gráficos
108 plt.plot(r, P_aux, label="Numérico")
109 plt.plot(r, p1, label="Analítico")
110 plt.xlabel('raio [cm]')
111 plt.ylabel('Pressão [atm] - 1 dia')
112 plt.legend()
113 plt.show()
114

```

Numérico – Implícito

```

8 #Resolução do Problema 2 - Lista 2:Fluxo radial unidimensional - numérico
9 #Método implícito
10
11 import math as m
12 import scipy.special as sc
13 import matplotlib.pyplot as plt
14
15 #1 - Dados de entrada
16 re = 60690 #raio externo [cm]
17 rw = 8.9 #raio do poço [cm]
18 h = 304.8 #espessura do reservatório [cm]
19 pi = 149.7 #pressão inicial [atm]
20 q0 = 5180 #vazão [cm³ std/ s]
21 kk = 0.15 #permeabilidade [Darcy]
22 phi = 0.2 #porosidade [%100]
23 ct = 0.0002204 #compressibilidade total [1/atm]
24 mu = 0.33 #viscosidade [cp]
25 Bo = 1.5 #fator volume formação [m³/m³ std]
26 g = 1.78108 #gamma para p em rw
27
28
29 #2 - Cálculo das constantes
30
31 dt = 5 #passo de tempo [s]
32 dr = 121.38 #espessamento da malha [cm]
33
34 ni = kk/(phi*mu*ct) #constante de difusividade hidráulica - eq.3.113 de Rosa et al.
35
36 #parcelas constantes da transmissibilidade do nó
37 tau_c1 = ni*dt/(dr**2)
38 tau_c2 = ni*dt/(2*dr) #parcela que multiplica 1/ri no cálculo da pressão
39
40
41 # parcelas constantes relativo ao pw
42 cc = Bo*q0*mu/(2*m.pi*kk*h)
43
44 #3 - Definição da lista de raios - pontos i - que serão calculados o campos de pressão
45 #A quantidade de nós, Nr, irá definir o tamanho da matriz das transmissibilidades - Nr x Nr
46
47 r = []
48 n = int (re/dr)
49 for i in range(n+1):
50     r += [i*dr]
51 r[0] = rw #correção r1 = 0 para r1 = rw
52
53 print(r[-1]) #teste para saber o último valor: r[n+1]
54
55 Nr = len(r) #numero de pontos no espaço
56
57
58 #4 - Condições iniciais
59
60 t1 = 60*60*24 #[s] tempo total de análise
61 Nt = int(t1/dt) #número de passos no tempo
62
63 Pi = [] #campo de pressões iniciais
64 for i in range(Nr): #Pi = [pi for i in range(Nr)]
65     Pi += [pi]
66
67
68 #5 - Montagem da matriz de transmissibilidades
69
70 #matriz zerada
71 tr = []
72 for i in range (Nr):
73     tr += [[]]
74 for i in range (Nr):
75     tr[i] += [0 for j in range(Nr)]
76
77 #matriz tri - diagonal
78 for i in range (Nr):
79     for j in range (Nr):
80         if i==j: #parcela diagonal
81             tr [i][j] = 1 + 2*tau_c1
82         elif j-i == 1: #diagonal superior
83             if i == 0:
84                 tr [i][j] = -2*tau_c1
85             else:
86                 tr [i][j] = -(tau_c2*(1/r[i]) + tau_c1)
87         elif j-i == -1: #diagonal inferior
88             if i == (Nr-1):
89                 tr [i][j] = -2*tau_c1
90             else:
91                 tr [i][j] = -(tau_c1 - tau_c2*(1/r[i]))
92
93
94
95 #6 - Inversão da matriz de transmissibiliade
96 #https://numpy.org/doc/stable/reference/generated/numpy.linalg.inv.html?highlight=inv#numpy.linalg.inv
97
98
99 from numpy.linalg import inv
100 tr_inv = inv(tr)

```

```

101
102 #7 - Cálculo do campos de pressões no tempo (numérico)
103
104 P = []
105 P_aux = []
106
107 for k in range (Nt):
108     if k == 0:
109         P = P0.copy()
110         print('it =', k, '// t[s] =', round(k*dt, 2), '// horas =', round(k*dt/3600, 2), ' // dias =', round(k*dt/3600/24, 2),
111               '// mes =', round(k*dt/3600/24/30.2, 1), '// ano =', round(k*dt/3600/24/365.5, 1), '// pw[atm] =', round(P[0], 2))
112     else:
113         P = P_aux.copy()
114         P_aux = []
115         print('it =', k, '// t[s] =', round(k*dt, 2), '// horas =', round(k*dt/3600, 2), ' // dias =', round(k*dt/3600/24, 2),
116               '// mes =', round(k*dt/3600/24/30.2, 1), '// ano =', round(k*dt/3600/24/365.5, 1), '// pw[atm] =', round(P[0], 2))
117     for i in range (Nr):
118         P_aux += [0]
119         if i == 0:
120             for j in range (Nr):
121                 if j == 0:
122                     P_aux [i] = P_aux[i] + tr_inv[i][j]*(P[j] - (ni*dt/(r[i]**2))*cc)
123                 else:
124                     P_aux [i] = P_aux[i] + tr_inv[i][j]*P[j]
125             else:
126                 for j in range (Nr):
127                     P_aux [i] = P_aux[i] + tr_inv[i][j]*P[j]
128
129 print (P_aux[-1])
130
131 #8 - Perfil de pressão (analítico)
132 C = Bo*q0*mu/(4*m.pi*kk*h)
133
134 p1 = []
135
136 for i in range(Nr):
137     p1 = p1 + [pi+C*sc.expi(-phi*mu*ct*r[i]**2/(4*kk*t1))]
138
139 print(p1[-1])
140
141 #teste para saber o último valor: p1[n+1]
142
143 #7 - Gráficos
144 plt.plot(r, P_aux, label="Numérico")
145 plt.plot(r, p1, label="Analítico")
146 plt.xlabel('raio [cm]')
147 plt.ylabel('Pressão [atm] - 1 dia')
148 plt.legend()
149 plt.show()
150

```